

大阪工業大学

正員 岡村宏一

東洋技術コンサルタント(株)

正員 ○島田 功

1. まえがき： 集中力問題の解として，Kelvinの解（無限領域問題），Mindlinの解（半無限体領域問題）があり，これらは，素解を多く多くの3次元問題の解析に利用されています。ところどころ，問題に応じて境界表面を持つ素解を利用するところですがこれらは，解析上，境界処理を容易にし，精度をより向上することができるところである。本報告は，このような鏡像法から導き出される3つの境界表面を持つ1/8無限体の素解を提案するものである。さらに多くの境界表面を持つ問題へアプローチを試したものである。本解析手法は，特異点解法であり，集中力を受けた無限体の解を特解とし，境界条件を満足せしめに設けた鏡像点と特異性を持つ解を組み，これら特異解の集合として，実現域を作り出すものである。なお，これら1部につけては，すでに別報を予定している。

2. 基礎式，および基本解； 均質な等方弾性体の基礎式は，

$$\nabla^2 \xi_1 = 0, \quad \nabla^2 \xi_2 = -\frac{\lambda+G}{G} \frac{\partial^2}{\partial z^2} \xi_1, \quad \nabla^2 \xi_3 = 0 \quad \dots \dots \dots \quad (1)$$

ただし， $\xi_1 = e, \quad \xi_2 = \frac{\partial u}{\partial z}, \quad \xi_3 = \frac{\partial v}{\partial y} - \frac{\partial w}{\partial x}$
 $\lambda = \frac{\nu E}{(1+\nu)(1-2\nu)}, \quad G = \frac{E}{2(1+\nu)}, \quad e = \frac{\partial u}{\partial x} + \frac{\partial v}{\partial y} + \frac{\partial w}{\partial z}, \quad \nabla^2 = \frac{\partial^2}{\partial x^2} + \frac{\partial^2}{\partial y^2} + \frac{\partial^2}{\partial z^2}$

式(1)の $(u, v, w), (x, y, z)$ はサイクリックに変えることにより，表示を変えて残り2種の基礎式が得られる。²⁾ 式(1)の解および変形成分は次のようになる。

$$\xi_1 = \frac{A}{r}, \quad \xi_2 = \frac{B}{r} - \frac{\lambda+G}{2G} A \frac{\partial r}{\partial z^2}, \quad \xi_3 = \frac{C}{r} \quad \dots \dots \dots \quad (2)$$

ただし， A, B, C ：積分定数， $r^2 = (x-x_i)^2 + (y-y_i)^2 + (z-z_i)^2$

$$u = -\frac{1}{G} \left\{ \left\{ (\lambda+2G) \frac{\partial \xi_1}{\partial z} - G \frac{\partial \xi_2}{\partial x} + G \frac{\partial \xi_3}{\partial y} \right\} dz dz \right\} \quad (3)$$

$$v = -\frac{1}{G} \left\{ \left\{ (\lambda+2G) \frac{\partial \xi_1}{\partial y} - G \frac{\partial \xi_2}{\partial z} - G \frac{\partial \xi_3}{\partial x} \right\} dz dz \right\} \quad (3)$$

$$w = \int \xi_2 dz$$

式(2)は，図-1の点 (x_i, y_i, z_i) の特異性を持つ無限体の解であり，微分してものは，集中力問題の解となる。集中力 P を受ける無限体の解は，次のようになる（添字 i をつけてあらわす）。

$$\xi_1^0 = A_0 \frac{\partial}{\partial z} \left(\frac{1}{r} \right), \quad \xi_2^0 = B_0 \frac{\partial}{\partial z} \left(\frac{1}{r} \right) - \frac{\lambda+G}{2G} A_0 \frac{\partial^3}{\partial z^3} \left(\frac{1}{r} \right), \quad \xi_3^0 = 0 \quad \dots \dots \dots \quad (4)$$

ただし， $A_0 = \frac{P}{4\pi} \frac{1}{\lambda+2G}, \quad B_0 = \frac{P}{4\pi} \frac{1}{G}$

3. 境界条件，および鏡像点の解； $z=0$ の境界条件を不満たす。

a) 応力零の境界； $\lambda \xi_1 + 2G \xi_2 = 0, \quad \frac{\partial}{\partial z} (\lambda \xi_1 + 2G \xi_2) = 0, \quad \frac{\partial}{\partial z} \xi_3 = 0 \quad \dots \dots \dots \quad (5)$

b) 变位零の境界； $\xi_1 - \xi_2 = 0, \quad \int \xi_2 dz = 0, \quad \xi_3 = 0 \quad \dots \dots \dots \quad (6)$

式(4)または(5)を満足せしむために，図-2は示すように鏡像点(1)の特異性を持つ解を重ねる。式(4)の特解に対する適用調整解を示す次のようになる。

$$\xi_1 = A_1 \frac{\partial}{\partial z} \left(\frac{1}{r_1} \right) + A_2 \frac{\partial^3}{\partial z^3} \left(\frac{1}{r_1} \right), \quad \xi_2 = B_1 \frac{\partial}{\partial z} \left(\frac{1}{r_1} \right) + B_2 \frac{\partial^3}{\partial z^3} \left(\frac{1}{r_1} \right) - \frac{\lambda+G}{2G} \left\{ A_1 \frac{\partial^3}{\partial z^3} \left(\frac{1}{r_1} \right) + A_2 \frac{\partial^4}{\partial z^4} \left(\frac{1}{r_1} \right) \right\}, \quad \xi_3 = 0 \quad \dots \dots \dots \quad (7)$$

ただし， $r_1^2 = (x-x_i)^2 + (y-y_i)^2 + (z+z_i)^2$

一般に，鏡像点が特異性を持つ解は，元の解に対して，1箇所隣接する複数の積分定数を含む解となり $\xi_1 = \xi_2 = \xi_3 = 0$ となり，境界面で， $\xi_1 = \xi_2$ ，または(6)を満足するよう積分定数を定めることができる。

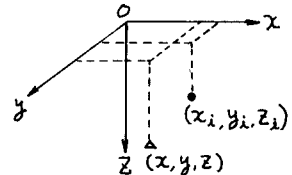


図-1

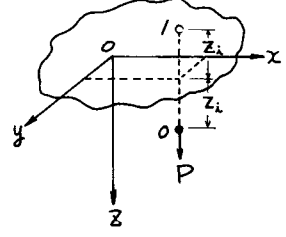
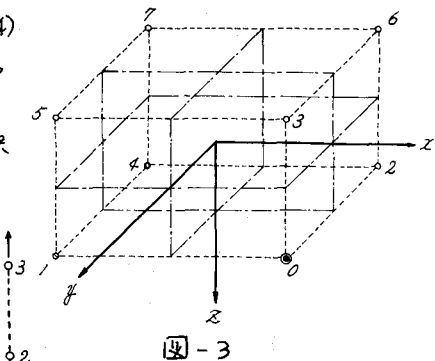


図-2

4. $1/8$ 無限体の解析解；図-3に示すように $\zeta(0) \sim \zeta(4)$ を元して特解を与え、鏡像点の群、 $\zeta(1) \sim \zeta(7)$ は式(7)に示すように $\zeta(1) = \zeta(4)$ 、 $x=0$ 、 $y=0$ 、 $z=0$ の境界面で境界条件を満足するように接合定数を決定し、標記の解を得る。



5. 解析解の応用；図-4のように $1/8$ 無限体、(境界面 F_1)と、半無限体(境界面 F_2)を組合せた問題を考慮する。まず荷重 P を含む $1/8$ 無限体の解(特異点 $0 \sim 1$)を与え、同(b)図に示す F_1 面の境界を作用さる。次に、こゝから特異点に対する境界面 F_2 の鏡像点 $(1' \sim 2')$ を設け、

半無限体の境界面 F_2 を作り特異解を重ねる(図-4(c)参照)。この解に F_1 面の境界はおさまるが、再び、前出の特異点に対する F_1 面での鏡像点 $(2 \sim 3)$ を設け、 F_1 面の境界条件を満足させた解を重ねる。このようにして、1つの境界面を満足させたために重ねた特異解による他面への乱れを打ち消す調整を交互に繰返す。このように $1/8$ 無限体の解法により、特異点は次第に離れて行き、実領域内の応力を収束させることが可能である。

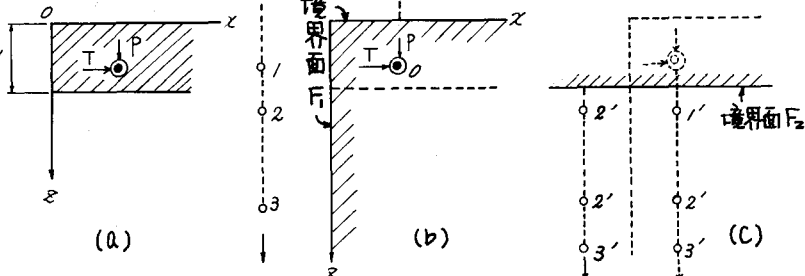


図-4

b. 計算例；集中力 P を受ける図-5の問題を5. の手法により解析し、図-6、7に固定面の応力を $1/8$ 無限体の場合(破線)と対比して示した。図-8はリラクゼーションの回数と応力の収束状態を主要変位の直応力にについて示したもので、二の解計算例では、3回程度のリラクゼーションで、収束するようである。

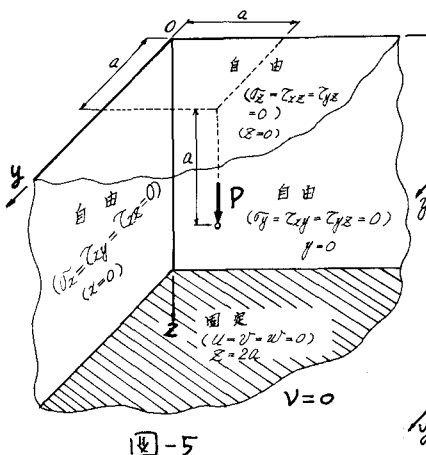


図-5

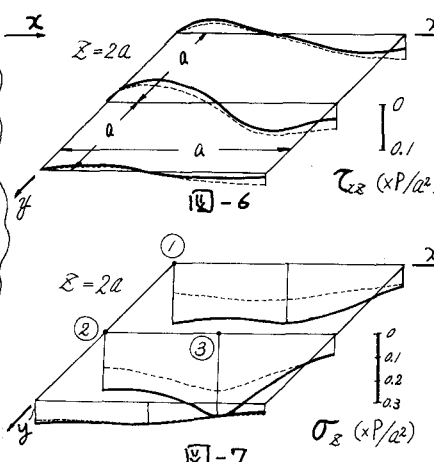


図-6

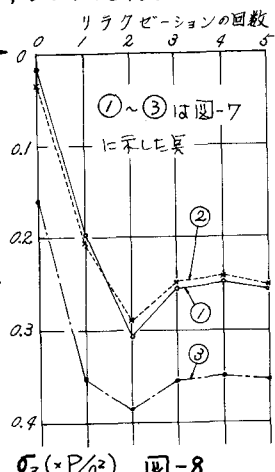


図-7

図-8

- 1) 関村、島田：内部に集中力を受ける $1/8$ 無限等方性体の解析解、土木学会論文集支部論文集概要、昭53
- 2) 式(1)は、図-1に示す、 $z=0$ の境界条件を満足させた場合の基礎式である。 $x=0$ 、 $y=0$ の境界面を満足させた場合は、表示を変えて2種の基礎式を用いる。